

## РАЗРЫВЫ ТОКА В ОБРАЗЦАХ С МНОГОЗНАЧНЫМИ ВОЛЬТАМПЕРНЫМИ ХАРАКТЕРИСТИКАМИ

*В. С. Бочков, А. И. Ваксер, Ю. Г. Гуревич*

В работе предсказываются разрывы тока на перегревной ветви S-образной вольт-амперной характеристики (ВАХ) полупроводников, помещенных в поперечное (к пропускаемому току) магнитное поле.

В полупроводниках с S-образной ВАХ, если поперечные размеры образца больше  $l_k$  ( $l_k$  – характерный параметр задачи размерности длины [1]), распределение температуры носителей становится неоднородным. Если задача одномерна<sup>1)</sup>, т. е. все величины зависят, например, от  $z$ , то в отсутствие поверхностных механизмов релаксации энергии [3, 4] уравнение для электронной температуры  $\Theta(z)$  имеет два решения  $\Theta^{(\pm)}(z)$ , средние по сечению, значения которых совпадают (см. рис. 1, кривые –1) [1].

При учете поверхностных механизмов рассеяние энергии, в том случае когда мощность этих механизмов на границах образца различна, из двух распределений остается одно, вид которого зависит от соотношения между величинами  $\eta_0$  и  $\eta_a$  ( $\eta_0$  и  $\eta_a$  соответственно – характеристики мощности поверхностных механизмов на границах  $z=0$  и  $z=a$ ). В частности, если  $\eta_0 \ll \eta_a$  распределение  $\Theta(z)$  имеет вид кривой 2, а при  $\eta_0 \gg \eta_a$  – кривой 3, изображенных на рис. 1 [4]. В том случае, когда  $\eta_0 = \eta_a$  и при этом  $\eta_0 = \eta_a < \eta_{кр}$  ( $\eta_{кр}$  – некоторое критическое значение величины  $\eta$  [5]), как и при отсутствии поверхностных механизмов, имеются два решения для температуры  $\Theta = \Theta^{(\pm)}(z)$  [5]; они изображены на рис. 2 (кривые 1). Если же  $\eta_0 = \eta_a > \eta_{кр}$ , то температурное распределение единственное и имеет вид кривой 2, показанной на рис. 2.

<sup>1)</sup> Ограничения на размеры образца для одномерности задачи приведены в [1, 2].

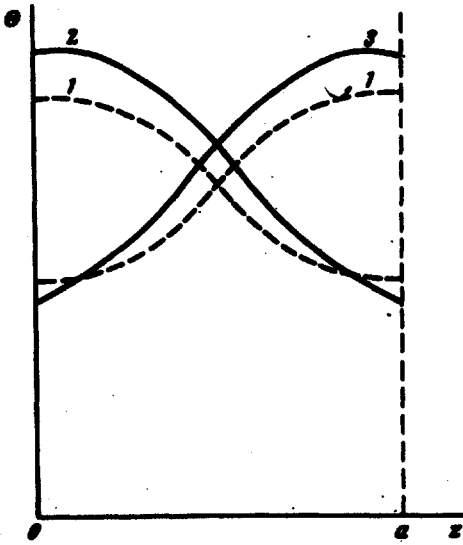


Рис. 1. Температурные распределения: кривая 1 -  $\eta_0 = \eta_a = 0$ ; кривая 2 -  $\eta_0 \ll \eta_a$ ; кривая 3 -  $\eta_0 \gg \eta_a$

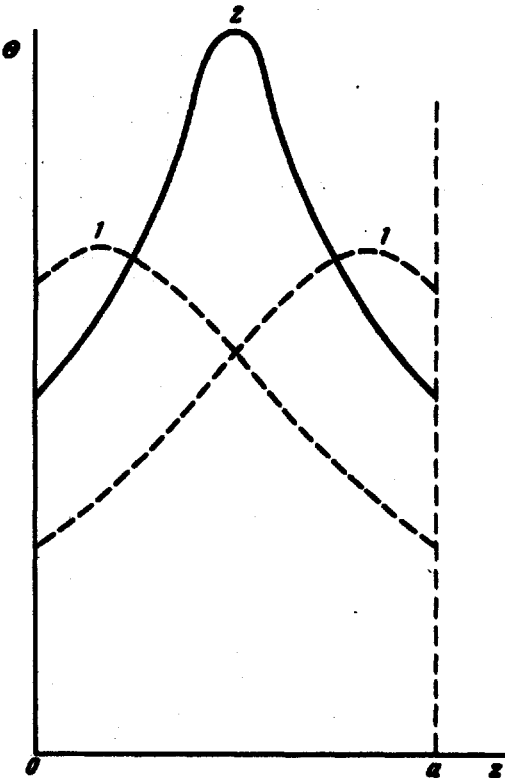


Рис. 2. Температурные распределения: кривая 1 -  $\eta_0 = \eta_a < \eta_{кр}$ , кривая 2 -  $\eta_0 = \eta_a > \eta_{кр}$

Вышесказанное позволяет проследить за изменением температурных распределений в том случае, когда мощность поверхностных механизмов на одной из стенок (например, на стенке  $z = a$ ) фиксирована ( $\eta_a = \text{const}$ ), а на другой стенке меняется от  $\eta_0 < \eta_a$  до  $\eta_0 > \eta_a$ . До тех пор, пока  $\eta_0 < \eta_a$  температура на стенке  $z = 0$  -  $\Theta(0)$  больше  $\Theta(a)$  - температуры на стенке  $z = a$ , - средний по сечению градиент электронной температуры  $d\Theta/dz$  -

отрицателен. Когда  $\eta_0$  станет равным  $\eta_a$ , но при этом  $\eta_a < \eta_{кр}$ , у одного из существующих распределений  $\Theta^{(+)}(z)$  этот средний градиент отрицателен, а у второго  $\Theta^{(-)}(z)$  положителен [5]. Если же  $\eta_a > \eta_{кр}$ , то при  $\eta_0 = \eta_a$  он равен нулю [5]. Наконец, когда  $\eta_0$  станет больше  $\eta_a$ , средний по сечению градиент станет положительным [4, 5].

Таким образом, при  $\eta_a < \eta_{кр}$  средний по сечению градиент электронной температуры, как функция  $\eta_0$ , изменяет знак, претерпевая разрыв при  $\eta_0 = \eta_a$ . Если  $\eta_a > \eta_{кр}$ , то при  $\eta_0 = \eta_a$  средний градиент меняется непрерывно, проходя через нуль. Заметим при этом, что средняя по сечению температура электронов  $\bar{\Theta}$  меняется при изменении  $\eta_0$  непрерывным образом, так как при  $\eta_0 = \eta_a$   $\bar{\Theta}^{(+1)} = \bar{\Theta}^{(-1)}$  (см. рис. 1 и 2) [5].

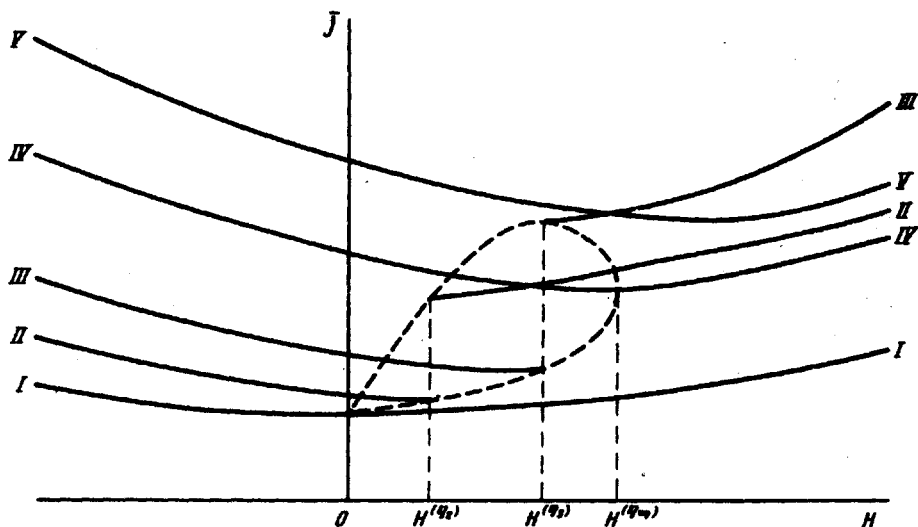


Рис. 3. Гаусс-амперные характеристики: кривая I соответствует  $\eta_1 = 0$ , кривая II —  $\eta_{кр} > \eta_2 > 0$ , кривая III —  $-\eta_{кр} > \eta_3 > \eta_2$ , кривая IV —  $\eta_4 = \eta_{кр}$  и кривая V —  $\eta_5 > \eta_{кр}$

Вполне очевидно, что непрерывное изменение мощности поверхностных механизмов является искусственным. Однако, как было показано в [6], включение магнитного поля вдоль оси  $y$ , т. е. вдоль направления, ортогонального плоскости электрического тока и градиента электронной температуры, приводит к эффективному "изменению" величины поверхностных механизмов. Считая для простоты, что поверхностные механизмы присутствуют только на одной из стенок образца (допустим, на границе  $z = a$ ) и предполагая, что магнитное поле  $H$  слабое  $((\omega_H \tau)^2 \ll 1$ , где  $\omega_H$  — циклотронная частота,  $\tau$  — время релаксации), граничные условия для электронной температуры принимают вид [6]

$$\left. \frac{d\Theta}{dz} \right|_{z=0} = H\Phi(\Theta)E \Big|_{z=0}, \quad \left. \frac{d\Theta}{dz} \right|_{z=a} = (H\Phi(\Theta)E - \eta F(\Theta)) \Big|_{z=a}, \quad (1)$$

где  $\Phi(\Theta)$  — коэффициент поперечного термомагнитного эффекта Нернста — Эттингсгаузена [6],  $E$  — величина приложенного электрического поля,  $F(\Theta)$  — функция, учитывающая температурную зависимость поверхностных механизмов.

Из выражения (1) видно, что в том случае, когда  $H$  параллельно оси  $y$  ( $H > 0$ ), увеличение магнитного поля от  $H = 0$  до  $H = H(\eta)$  ( $H(\eta) = \eta F(\Theta) / 2\Phi(\Theta) E$ ) эквивалентно изменению  $\eta_0$  от  $\eta_0 = 0$  до  $\eta_0 = \eta_0$ . При дальнейшем возрастании  $H$  ( $H > H(\eta)$ )  $\eta_0$  становится эффективно больше  $\eta_0$ .

Следовательно, при изменении поля  $H$  от  $H = 0$  до  $H > H(\eta)$  температурное распределение деформируется так же, как это было описано при изменении  $\eta_0$  (см. рис. 1 и 2).

Отсюда, в частности, следует, что при  $H = H(\eta)$ , если  $H(\eta) < H(\eta_{кр})$  ( $H(\eta_{кр}) = \eta_{кр} F(\Theta) / 2\Phi(\Theta) E$ ), средний по сечению градиент электронной температуры изменяет знак и претерпевает разрыв.

Так как в поперечном магнитном поле в выражении для среднего по сечению тока  $\bar{j}$  имеется слагаемое, пропорциональное произведению величины магнитного поля  $H$  на средний по сечению градиент электронной температуры [6], то скачок градиентов в поле  $H = H(\eta) < H(\eta_{кр})$  приведет к разрыву тока в том же магнитном поле. Заметим, что возрастание  $\eta$  приводит к увеличению  $H(\eta)$ , и, следовательно, скачок тока с ростом  $\eta$  происходит в больших магнитных полях. Очевидно, что при  $H = H(\eta) > H(\eta_{кр})$  разрыв тока отсутствует, так как среднее значение градиента, как указывалось выше, равно нулю. Точный расчет, аналогичный проведенному в [4, 6], дает выражение для зависимости величины разрыва ("скачка") среднего тока  $\Delta \bar{j}$  в поле  $H = H(\eta)$ , когда  $H(\eta) < H(\eta_{кр})$  от мощности поверхностных механизмов

$$\Delta \bar{j} \Big|_{H = H(\eta)} \sim \eta \sqrt{1 - (\eta/\eta_{кр})^2}.$$

Такая зависимость  $\Delta \bar{j} \Big|_{H(\eta)}$  понятна. При  $\eta \rightarrow \eta_{кр}$   $\Delta \bar{j} \Big|_{H(\eta)}$  стремится к нулю, так как средний по сечению градиент электронной температуры, монотонно уменьшаясь, стремится к нулю. При  $\eta \rightarrow 0$  соответствующее значение  $H(\eta)$  также стремится к нулю. Поэтому, хотя средний градиент при  $\eta \rightarrow 0$  отличен от нуля, в выражение для тока он вклад не дает из-за того, что  $H(\eta) \rightarrow 0$ . Можно показать, что при увеличении  $H$  скачок тока в поле  $H = H(\eta) < H(\eta_{кр})$  происходит в сторону больших значений последнего. Если же  $H(\eta) > H(\eta_{кр})$ , в поле  $H = H(\eta)$  разрыв отсутствует, а кривая  $\bar{j}(H)$  имеет минимум.

Изменение направления магнитного поля на обратное (антипараллельное оси  $y$ , т. е.  $H < 0$ ) приводит (см. (1)) к "появлению отрицательных" поверхностных механизмов (т. е.  $\eta_0 < 0$ ). Соответствующие средние значения электронной температуры и ее градиента будут, как легко увидеть, монотонными функциями магнитного поля. Следовательно, при  $H < 0$  ток — монотонная функция поля  $H$ .

На рис. 3 приведены гаусс-амперные характеристики для разных значений параметра  $\eta$ .

Естественно ожидать, что разрывы тока на зависимости  $\bar{j}(H)$  неизбежно приведут к скачкам тока на ВАХ.

## Литература

- [1] Ф.Г.Басс, В.С.Бочков, Ю.Г.Гуревич. ЖЭТФ, 58, 1814, 1970.
- [2] А.К.Звездин, В.В.Осипов. ЖЭТФ, 58, 160, 1970.
- [3] П.П.Вильмс, В.С.Сардарян, П.П.Добровольский, С.В.Копылова. Письма в ЖЭТФ, 10, 377, 1969; А.И.Климовская, О.В.Снитко, В.И.Мельников. Доклады IX Междунар. конф. по физике полупроводников, М., 1968.
- [4] В.С.Бочков, Ю.Г.Гуревич. ЖЭТФ, 62, 1079, 1972.
- [5] В.С.Бочков. Автореферат кандидатской диссертации ИПАН УССР. Киев, 1972.
- [6] В.С.Бочков, Ю.Г.Гуревич. ФТТ, 11, 714, 1969.
-